

УДК 595.425

**В. Д. Севастьянов, П. Р. Хыдыров, Т. Н. Марруш**

**НОВЫЕ ВИДЫ КЛЕЩЕЙ КОГОРТЫ TARSONEMINA (TROMBIDIFORMES) ИЗ ТУРКМЕНИСТАНА, УКРАИНЫ И РОССИЙСКОЙ ФЕДЕРАЦИИ**

Нові види кліщів когорти Tarsonemina (Trombidiformes) з Туркменістану, України та Російської Федерації. Севастьянов В. Д., Хидиров П. Р., Марруш Т. Н.— *Dolichocybe firjusae* sp. n., *Siteroptes majsae* sp. n., *S. sakariensis* sp. n., *Pediculaster crassipedis* sp. n. описані з Чарджоуської обл. Туркменістану, *P. sklarii* sp. n.— з Донецької обл. України, *P. petrovanikitinae* sp. n.— з Амурської обл. Російської Федерації. Голотипи нових видів зберігаються в Зоологічному інституті РАН (С.-Петербург), паратипи — на кафедрі зоології Одеського університету.

Ключові слова: Tarsonemina, Trombidiformes, нові види, Туркменістан, Україна, Російська Федерація.

New Mite Species of the Cohort Tarsonemina (Trombidiformes) from Turkmenistan, Ukraine and Russian Federation. Sevastianov V. D., Chydyrov P. R., Marroch T. N. — *Dolichocybe firjusae* sp. n., *Siteroptes majsae* sp. n., *S. sakariensis* sp. n., *Pediculaster crassipedis* sp. n. are described from Chardzhou province of Turkmenistan, *P. sklarii* sp. n.—from Donetsk Region of Ukraine, *P. petrovanikitinae* sp. n.—from Amur region of the Russian Federation. Holotypes of the new species are deposited in Zoological Institute, Russian Academy of Sciences (St.-Petersburg), paratypes—in the Department of Zoology, Odessa University.

Key words: Tarsonemina, Trombidiformes, new species, Turkmenistan, Ukraine, Russian Federation.

Голотипи описуваних нових видів передані на зберігання в Зоологічний інститут Російської Академії наук (С.-Петербург); паратипи зберігаються на кафедрі зоології Одеського університету.

Автори глибоко признательні А. Д. Петрової-Никитиної і В. Э. Склярю за предоставлені колекції кліщів.

*Dolichocybe firjusae* Sevastianov et Chidirov, sp. n.

Матеріал. Голотип ♀, Туркменістан, 30 км от пос. Карабекаул Чарджоуської обл., в почве поля под хлопчатником, препарат 908 (Хыдыров).

О п и с а н и е. Длина 196, ширина 64 мкм. Покровы белесые, гладкие, Scе (40) вдвое длиннее Scі (20). Ні (18) короче Не (24), последнее примерно равны Do (20) и Lue (23). Lui (20) в 1,5 раза длиннее Sai (13). Sae (104) длиннее гистеросомы. Все спинные щетинки гладкие (рис. 1, 1). Вершина стернума не заходит за эпимеры II. Замкнутые коксальные поля II разделены широким промежутком. Схе2 (21) самые длинные щетинки брюшной поверхности тела. Коксальные поля III замкнутые. Основания аггенитальных щетинок на овальных щитках покровов. Сі микрохеты, См (4) короче Се (5) (рис. 1, 2). Щетинка А на голени I длиннее бедра, колена и лапки вместе взятых. Вершина самой длинной щетинки на бедре заходит за середину лапки. Булавовидная вершина одного из соленидиев на голени достигает ее вершины (рис. 1, 3). Самая длинная щетинка ног II находится на голени, она длиннее колена и голени вместе взятых. Вершина наиболее длинной

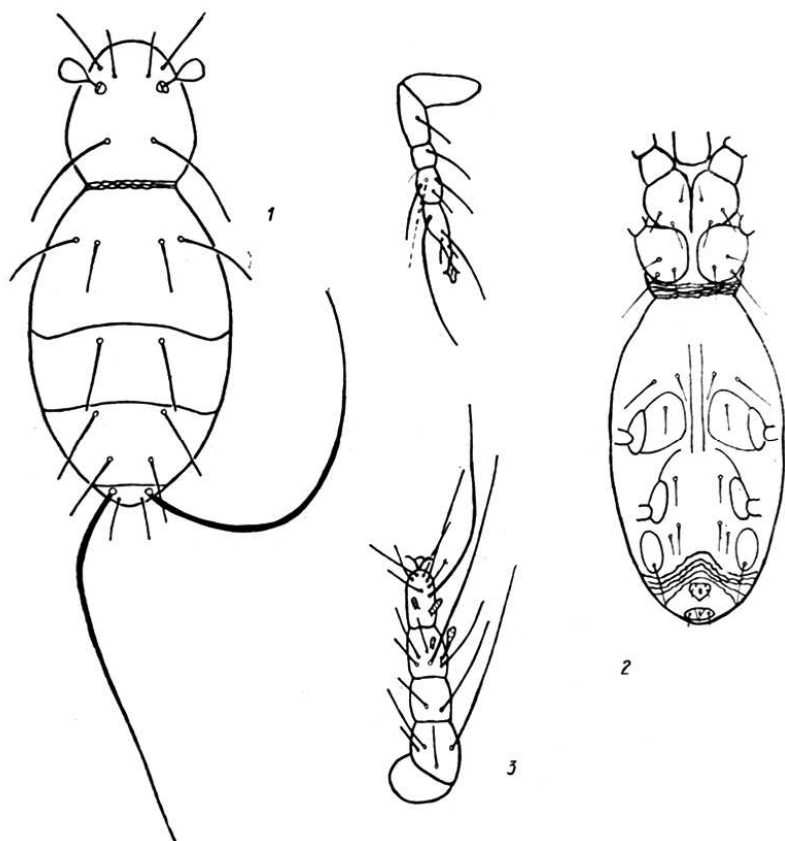


Рис. 1. *Dolychocybe furjusae* sp. n.: 1 — спинная сторона; 2 — брюшная сторона; 3 — нога I; 4 — нога IV.

Fig. 1. *Dolychocybe furjusae* sp. n.: 1 — dorsal side; 2 — ventral side; 3 — leg I; 4 — leg IV.

щетинки на голени III заходит за основание коготка. Щетинка P на лапке IV длиннее колена, голени и лапки вместе взятых (рис. 1, 4).

Систематические замечания. Пропорциями большинства щетинок спинной стороны тела сближается с *D. keiferi* Сross, 1965. Отличается от него длинной Sai, равными не менее половины Do, размерами Ax1, которые короче лишь аггенитальных щетинок; резко булавовидной вершиной одного из соленидиев на голени I.

#### *Siteroptes majsae* Sevastianov et Chydyrov, sp. n.

Материал. Голотип ♀, Туркменистан, 30 км от пос. Карабекаул Чарджоуской обл., в почве поля под хлопчатником, 29.09.1990, препарат 1242 (Хыдыров). Паратипы: 2 ♀, там же, препарат 1243.

Описание. Длина 160—166, ширина 42—45 мкм. Покровы белесые, гладкие. Вершины трихоботрий почти круглые, их наибольший диаметр равен Vi (8), последние короче половины Sci (17). Sc2 (23) равны He (23). Равные Hi (18) и Sai (17) едва короче Sae (20). Lue (16) равны Do (16), обе длиннее Lui (14) (рис. 2, 1). Первые коксальные поля с тремя, вторые с двумя парами щетинок. Вершины Sxe1 (6) не расщеплены на две ветви, короче Sxii (8). Sxe2 (14) самые длинные щетинки на первых и вторых коксальных полях; их вершины достигают передних краев гистеросомы. Эпимеры III тонкие, сращены с вертлугами III. Основания Po1 (10) расположены у вершины развилка вен-

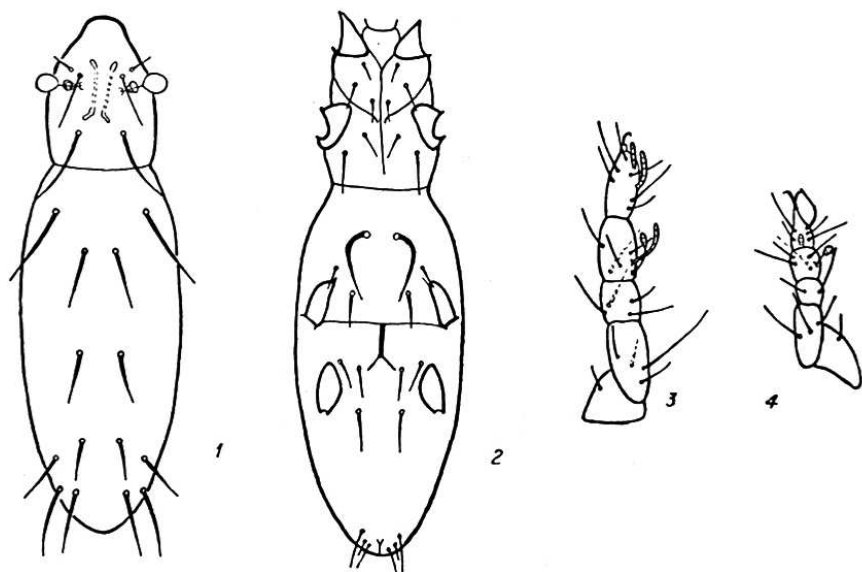


Рис. 2. *Siteroptes majsae* sp. n.: 1 — спинная сторона; 2 — брюшная сторона; 3 — нога I; 4 — нога IV.

Fig. 2. *Siteroptes majsae* sp. n.: 1 — dorsal side; 2 — ventral side; 3 — leg I; 4 — leg IV.

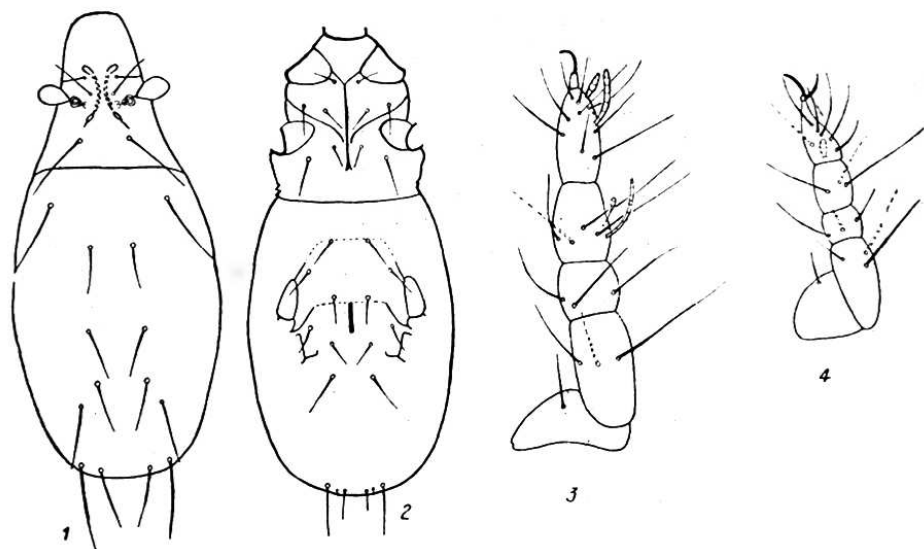


Рис. 3. *Siteroptes sakariensis* sp. n.: 1 — спинная сторона; 2 — брюшная сторона; 3 — нога I; 4 — нога IV.

Fig. 3. *Siteroptes sakariensis* sp. n.: 1 — dorsal side; 2 — ventral side; 3 — leg I; 4 — leg IV.

трума, их вершины не достигают оснований Рое (13). Рг<sub>1</sub> (24) самые длинные щетинки брюшной поверхности тела, утолщенные, резко изогнутые. Ах<sub>1</sub> короче Ах<sub>2</sub> (11), последние равны Рое<sub>1</sub> (11). Се (12) в 1,5 раза длиннее С<sub>1</sub> (8), С<sub>2</sub> (5) длиннее половины С<sub>1</sub> (рис. 2, 2). Оба соленидия на лапке I палочковидные, вершина срединного соленидия достигает основания коготка на лапке. Различия в форме соленидиев на голени I резкие. Бедренная щетинка С длиннее бедра, ее вершина дое-

тигает вершины колена (рис. 2, 3). Соленидий  $Co_2$  на голени II колбообразный на тонком стебельке (рис. 2, 4). Щетинка  $d$  на бедре III наиболее длинная щетинка ног III, ее вершина заходит за середину голени; щетинка  $C$  на бедре IV длиннее бедра и колена вместе взятых, ее вершина достигает основания лапки.

**Систематические замечания.** Размерами, формой тела, строением кокостерального скелета сближается с *S. cerealium* Kerschner 1864 в трактовке Суского (Suski, 1973). Резко отличается от него наличием  $Lui$ , длинными, утолщенными и изогнутыми за основаниями  $P_{ri}$ , короткими  $Sc_e$ , лишь равными  $He$ ; почти равными крестцовыми щетинками; длинным соленидием на лапках и голених первой пары ног.

### *Siteroptes sakariensis* Sevastianov et Chydyrov, sp. n.

**Материал.** Голотип ♀, Туркменистан, окр. пос. Сакар Чарджоуской обл., в почве поля под хлопчатником, 2.11.1989, препарат 1069 (Хыдыров). Паратипы: 10 ♀ там же, препарат 1070.

**Описание.** Длина 196—222, ширина 76—88 мкм. Покровы белые, гладкие. Вершины трихоботрий каплевидные, в наибольшем диаметре их вмещаются  $Vi$  (10—12). Вершины  $Sci$  (18—21) достигают оснований  $Sc_e$  (25—30) последние равны  $He$  (26—32). Различия в размерах  $Hi$  (18—21),  $Do$  (18—23) и  $Lui$  (18—22) незначительны; все они короче  $Sai$  (24—27). Вершины  $Lue$  (24—28) заходят за основания самых длинных спинных щетинок  $Sae$  (28—32) (рис. 3, 1). Коксальные поля I с тремя, коксальные поля II с двумя парами щетинок.  $Sx_{el}$  (10—13) не расщеплены на вершине, длиннее равных  $Sx_{il}$  (8—11) и  $Sx_{ml}$  (8—12).  $Sx_{e2}$  (14—17) в 1,5 раза длиннее  $Sx_{i2}$  (8—10), их вершины достигают задних краев проподосомы. Эпимеры III сращены с вертлугами III, тонкие, слабо склеротизированные. Вентрум за эпимерами III палочковидный.  $Ro_i$  (10) равны престеральным (8—10) и аксиллярным (9—10) щетинкам.  $St$  микрохеты,  $Se$  (18) самые длинные вентральные щетинки, почти вдвое длиннее  $Ci$  (10) (рис. 3, 2). Вершина срединного соленидия на лапке I далеко заходит за вершину лапки; срединный соленидий на голени длиннее соленидия на лапке, его вершина достигает основания лапки; щетинка  $C$  на бедрах II едва короче общей длины бедра и колена. Особенности пропорций хетома ноги II показаны на рис. 3, 4. Бедренная щетинка  $C$  ног III короче щетинки  $h$  на колене и  $k$  на голени.

**Систематические замечания.** По многочисленным признакам описываемый вид входит в комплекс видов «*cerealium*». Наиболее близок к описываемому в настоящей работе *S. majsae*. Резко отличается от него немодифицированными  $P_{ri}$ , равными  $P_{re}$ ; абсолютными и относительными размерами  $St$ ; пропорциями щетинок на конечностях.

### *Pediculaster skilarii* Sevastianov et Chydyrov, sp. n.

**Материал.** Голотип ♀, Украина, Тельмановский р-н Донецкой обл., зап. «Хомутовская степь», в гнезде *Cricetulus migratorius*, 19.06.1968, препарат 307 (Скляр). Паратипы: 9 ♀, там же, препараты 308, 309.

**Описание.** Длина 146—195, ширина 70—95 мкм. Покровы желто-коричневые, в густых порах. Вершины трихоботрий эллипсоидные.  $Vi$  (20—26) короче  $Sci$  (28—35), последние в 1,5 раза короче  $Sc_e$  (39—48).  $Hi$  равны (40—49)  $He$ , длиннее  $Do$  (36—42). Вершины последних далеко заходят за основания  $Lue$  и  $Sae$ .  $Sai$  (32—39) короче примерно равных  $Do$  и  $Lui$  (35—44).  $Lue$  (24) равны  $Vi$  и длиннее  $Sae$  (18—24). Все идосомальные щетинки в редком опушении (рис. 4, 1). Вершины примерно равных  $Sx_{il}$  (18—24) и  $Sx_{ml}$  (16—22) заходят за эпимеры I.  $Sx_{m2}$  (38—42) самые длинные щетинки брюшной поверхности тела. Коксальные поля III замкнутые, вентрум расщеплен на две ветви.  $P_{ri}$

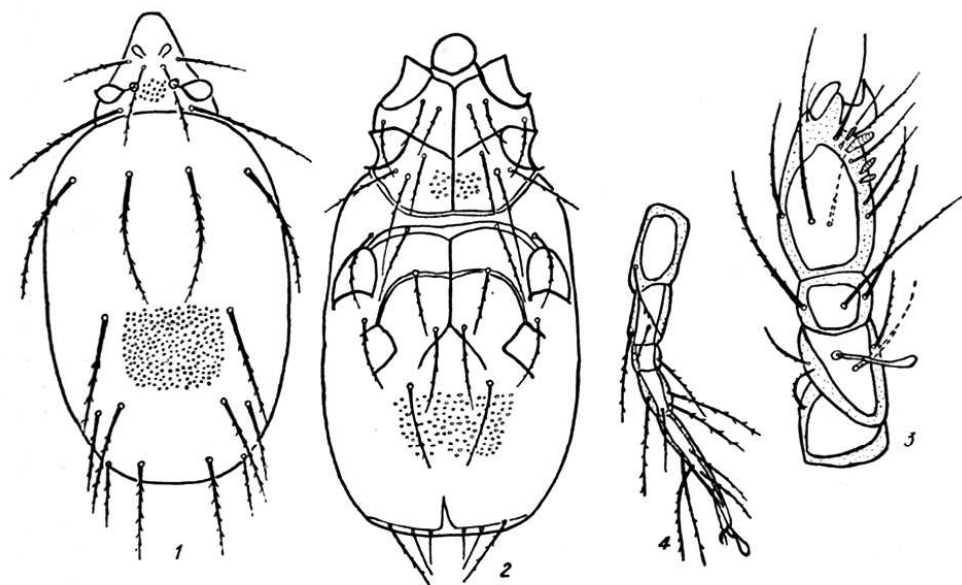


Рис. 4. *Pediculaster sklarii* sp. n.: 1 — спинная сторона; 2 — брюшная сторона; 3 — нога I; 4 — нога IV.

Fig. 4. *Pediculaster sklarii* sp. n.: 1 — dorsal side; 2 — ventral side; 3 — leg I; 4 — leg IV.

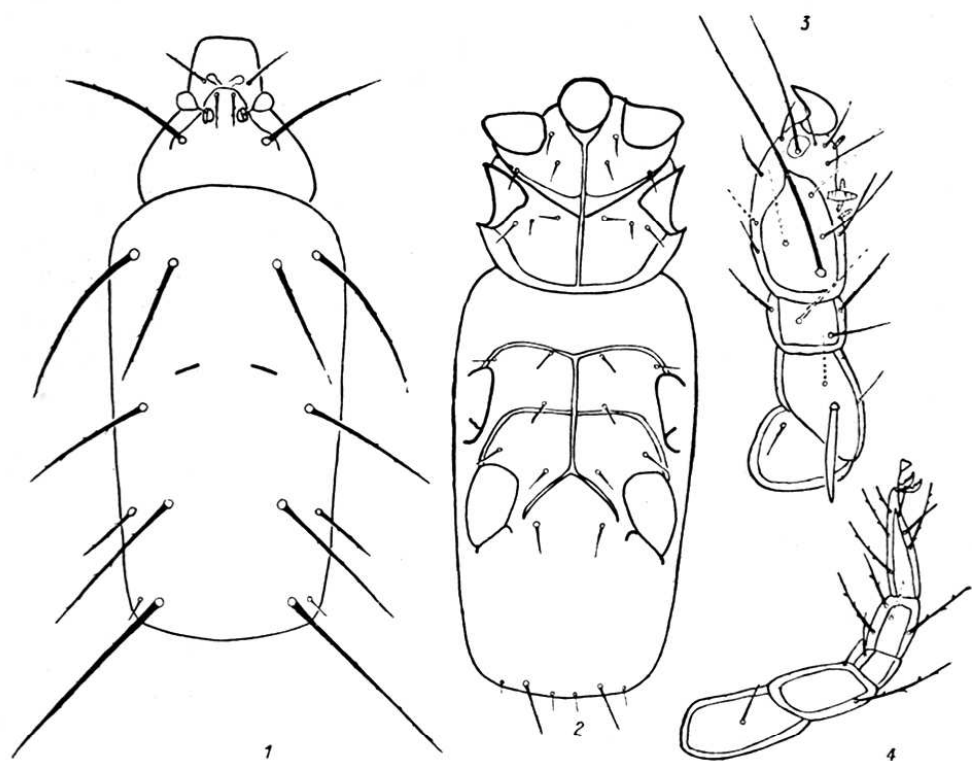


Рис. 5. *Pediculaster petrovanikitinae* sp. n.: 1 — спинная сторона; 2 — брюшная сторона; 3 — нога I; 4 — нога IV.

Fig. 5. *Pediculaster petrovanikitinae* sp. n.: 1 — dorsal side; 2 — ventral side; 3 — leg I; 4 — leg IV.

(23—33) длиннее  $Pre$  (21—30).  $Poi$  (22—32) равны  $Poe$  (23—32).  $Ax1$  (22—31) равны  $Ax2$ .  $Ci=10-15$ ,  $Cm=15-20$ ,  $Ce=21-27$  (рис. 4, 2). Щетинка  $C$  на бедре I слабо изогнута на вершине, длиннее ширины бедра.  $C$  зубовидным выростом тибиятарзуса напротив коготка. Все соленидии веретенovidные (рис. 4, 3). На ноге IV равные щетинки  $C$  и  $L$  короче  $P$  (рис. 4, 4).

Систематические замечания. По замкнутым коксальным полям III и расщепленному вентруму сближается с *P. ghilarovi* Sev. 1988 (Севастьянов, 1988) и *P. zaheri* Sev. et Abo-Kogah, 1984 (Севастьянов, Абу-Курах, 1984). От *P. ghilarovi* резко отличается крупными наружными поясничными и крестцовыми щетинками, явственными (не микрохетами)  $Ce$  и  $Cm$ ; отсутствием вдавления покровов, соединяющего вертлуги IV. От *P. zaheri* отличается неравными щетинками на первых и вторых коксальных полях; не угловидными, а дугообразными эпимерами III, неравными щетинками  $Cm$  и  $Ce$ , плоской вершиной тибиятарзуса I.

Вид назван в честь украинского акаролога Вячеслава Эпифановича Скляра.

*Pediculaster petrovaenikitinae* Sevastianov, Chydyrov et Margosh, sp. n.

Материал. Голотип ♀, Российская Федерация, Амурская обл., 52-й км после Зей-Золотая Гора, на самке *Fannia* sp. на падали, 26.06.1982, препарат 16 БЛ I (Басыхин). Паратипы: 2 ♀, там же, препарат 16 БЛ II.

Описание. Длина 290—320, ширина 130—140 мкм. Покровы светло-желтые, гладкие.  $Vi$  (24) равны длине трихоботрий, вершины последних круглые.  $Scs$  (70) равны  $Do$  (70), обе в 3 раза длиннее  $Sci$  (20).  $C$  двумя утолщениями покровов перед основаниями  $Do$ .  $He$  (92) в 1,5 раза длиннее  $Hi$  (64), равны  $Lui$  (90).  $Sae$  самые тонкие и короткие щетинки гистеросомы.  $Do$  далеко заходят за основания  $Lue$  и  $Lui$ . Все щетинки идиосомы в редком коротком опушении (рис. 5, 1). Щетинки коксальных полей I и II примерно равны. Коксальные поля III замкнутые. Вентрум с широким и длинным развилком, между его ветвями основания  $Poe$  (18).  $Ax1$  (10) короче  $Ax2$  (12).  $Cm$  (24) в несколько раз толще и втрое длиннее равных  $Ci$  (8) и  $Ce$  (8) (рис. 5, 2). Палочковидная щетинка  $C$  на бедрах I остроконечная на вершине, длиннее ширины бедра. Щетинка  $Q$  на тибиятарзусе длиннее общей длины тибиятарзуса и колена; все соленидии короткие, расширяющиеся к середине; покровы у основания щетинки  $O$  тонкие, гладкие, резко ограничены от остальных покровов (рис. 5, 3). Щетинка  $C$  на бедре III равна общей длине колена и голени. На ноге IV равные щетинки  $C$  и  $L$  в 1,5 раза длиннее щетинки  $P$  (рис. 5, 4).

Систематические замечания. По расщепленному вентруму, пропорциям коксальных и каудальных щетинок сближается с *P. ghilarovi* Sev., 1988. Отличается от него гладкими покровами тела, не равными  $Lue$  и  $Sae$ .  $Sai$  не короче, а длиннее  $Lui$ ;  $Ce$  и  $Cm$  не микрохеты; щетинки  $C$  и  $L$  на ноге IV не короче, а в 1,5 раза длиннее щетинки  $P$ .

Вид назван в честь российского акаролога Аделаиды Дмитриевны Петровой-Никитиной.

*Pediculaster amuriensis* Sevastianov, Chydyrov et Margosh, sp. n.

Материал. Голотип ♀, Российская Федерация, Амурская обл., 52-й км после Зей-Золотая Гора, на самке *Fannia* sp. на падали, 26.06.1982, препарат 16 БЛ (Басыхин). Паратипы: 14 ♀, там же, препарат 11 БЛ.

Описание. Длина 260—300, ширина 110—138 мкм. Покровы золотисто-желтые, гладкие. Вершина трихоботрий эллипсовидная.  $Sci$



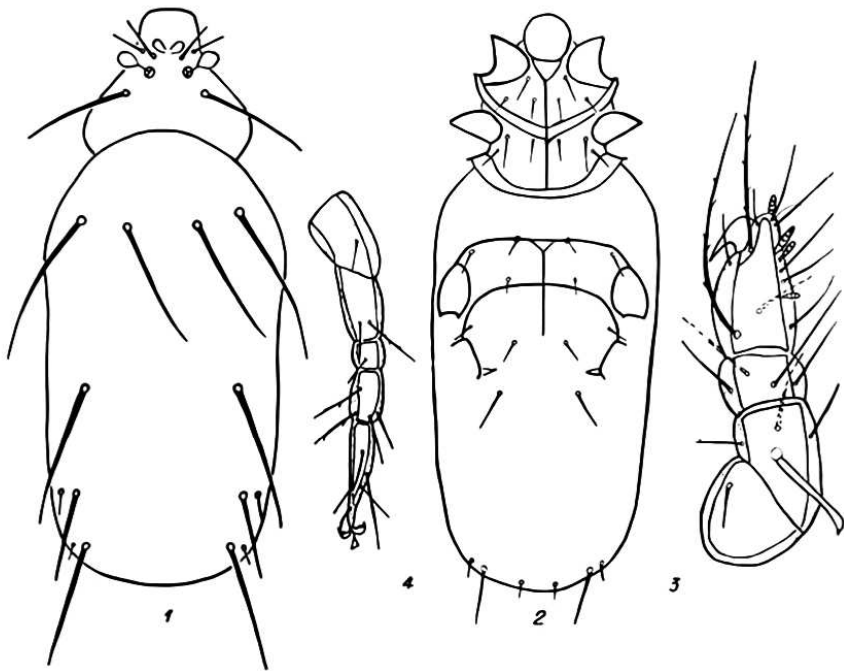


Рис. 6. *Pediculaster amuriensis* sp. n.: 1 — спинная сторона; 2 — брюшная сторона; 3 — нога I; 4 — нога IV.

Fig. 6. *Pediculaster amuriensis* sp. n.: 1 — dorsal side; 2 — ventral side; 3 — leg I; 4 — leg IV.

(16—22) длиннее Vi (14—20) и в 3 раза короче Sce (48—60). He (76—96) самые длинные спинные щетинки, в 1,5 раза длиннее Lui, последние короче Hi. Вершины Do (70—84) далеко заходят за основания Lui (50—54); Sai (58—70) в 1,5 раза длиннее Lui. Sae (8) самые короткие щетинки идиосомы. Lue (10—12) длиннее Sae (рис. 6, 1). Схm2 (12—14) самые длинные коксальные щетинки, но их вершины не заходят за эпимеры II. Коксальные поля III замкнутые. Pgi (8—10) равны около половины Poe (18). Ax1 (12—14) длиннее равных (10—12) Ax2 и Poi. Вершины Poi далеко не достигают оснований Poe. Cm (22—26) самые длинные щетинки брюшной поверхности тела, Ci равны Ce (рис. 6, 2). Вершина щетинки C на бедре I слабо изогнута; F на тибготарзусе длиннее его и половины колена вместе взятых. Основание соленидия 3 на вершине тибготарзуса (рис. 6, 3). На ноге IV щетинки C и L длиннее P (рис. 6, 4).

Систематические замечания. Замкнутыми коксальными полями III, короткими Lue и Sae, пропорциями каудальных щетинок сближается с *P. mesembrinae* (C a p. 1880) в трактовке Мартин (Martin, 1978). Резко отличается от него размерами Do, которые в 1,5 раза длиннее Lui; Hi не короче, а длиннее Lui, Vi короче Sci. Соленидий I на тибготарзусе I не булавовидный.

*Pediculaster crassipedis* Sevastianov et Chydyrov, sp. n.

Материал. Голотип ♀, Туркменистан, окр. пос. Московск Дейнауского р-на Чарджоуской обл., в почве под хлопчатником, 2.08.1987, препарат 353 (Хыдыров).

Описание. Длина 214, ширина 90 мкм. Покровы желтые, гладкие. Vi (12) короче Sci (22). Sce (36) длиннее Sci. Do (34) равны Lui (34). Lue (12) длиннее Sae (8). Последние самые короткие щетинки спинной поверхности тела. Все щетинки идиосомы гладкие (рис. 7, 1).

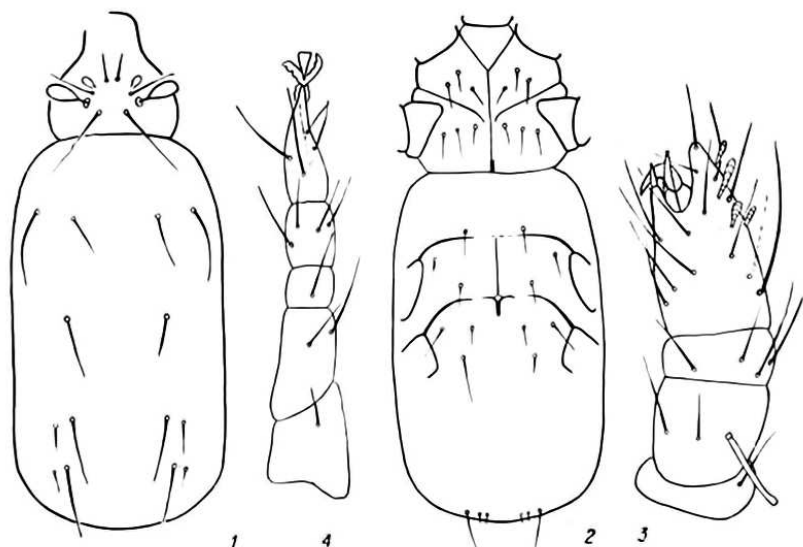


Рис. 7. *Pediculaster crassipedis* sp. n.: 1 — спинная сторона; 2 — брюшная сторона; 3 — нога I; 4 — нога IV.

Fig. 7. *Pediculaster crassipedis* sp. n.: 1 — dorsal side; 2 — ventral side; 3 — leg I; 4 — leg IV.

Sxm2 (117) самые длинные щетинки первой и второй пар коксальных полей. Вентрум разделяет коксальные поля III, но эпимеры и эпимериты у него слабо склеротизованы. Престернальные щетинки равны (10), длиннее Po1 (8). Ax1 (10) короче Ax2 (12). Pое (18) самая длинная щетинка брюшной поверхности тела. Ci равны Sm (4). Се (13) длиннее Ax2 (рис. 7, 2). Ноги I с очень широкими члениками, колено в 2,5 раза шире его длины. Вершина тибіотарзуса с глубоким вырезом, края выреза с двумя шиповидными выростами покровов. Щетинка С тупая на вершине, слегка изогнутая; форма и размеры соленидиев показаны на рис. 7, 3. Щетинка С на ноге IV длиннее равных L и P (рис. 7, 4).

Систематические замечания. Близок к *P. amerahae* Sevastianov et Abo-Kogah, 1984. В отличие от него Се не короче, а в 3 раза длиннее равных Sm и Ci; Lue не палочковидные. Вершина лапки I с двумя зубцами; соленидий 1 короче соленидия 3.

Севастьянов В. Д., Абу-Курах С. М. Новые род и виды клещей семейства Pygmephoridae (Trombidiformes) // Зоол. журн.— 1984.— 63, вып. 12.— С. 1797—1807.

Севастьянов В. Д. Обзор клещей рода *Pediculaster* Vitzthum (Pygmephoridae, Trombidiformes) фауны мира // Тр. Всесоюз. энтомол. о-ва.— 1980.— 70.— С. 217—222.

Cross E. A. The generic relationships of the family Pyemotidae (Acarina, Trombidiformes) // Univ. Kans. Bull.— 1965.— 2.— P. 29—275.

Martin M. A. Siteroptes (Siteroptoides) species with *Pediculaster*-like phoretomorphs (Acari: Tarssonemina, Pygmephoridae) from New Zealand Polynesia // N. Z. J. Zool.— 1978.— 5.— P. 121—155.

Suski Z. W. A revision of *Siteroptes cerealium* (Kirchner) complex (Acarina, Heterostigmata, Pyemotidae) // Ann. Zool.— 1973.— 30, N 17.— P. 509—535.

Одесский университет  
(270059 Одесса)

Получено 06.01.94